

УДК 621.372.413—434.1

## ГОФРИРОВАННЫЕ ЦИЛИНДРИЧЕСКИЕ РЕЗОНАТОРЫ ДЛЯ КОРОТКОВОЛНОВЫХ РЕЛЯТИВИСТСКИХ СВЧ ГЕНЕРАТОРОВ\*

*Г. Г. Денисов, М. Г. Резников*

Теоретически и экспериментально исследованы гофрированные резонаторы для релятивистских электронных генераторов. Действие резонаторов основано на эффекте синфазного селективного отражения волноводной волны многомодового волновода от периодических неоднородностей. Рассмотрены резонаторы в виде отрезка волновода со строго периодической гофрировкой и отрезка волновода со скачком фазы гофрировки в середине, резонатор с брэгговскими зеркалами.

Использование релятивистских эффектов не только позволяет существенно поднять мощность генераторов в традиционном для классической СВЧ электроники диапазоне длин волн, но и дает возможность реализации мощных электронных генераторов когерентного излучения в сравнительно плохо освоенных миллиметровом и субмиллиметровом диапазонах [2]. Большой интерес проявляется, в частности, к так называемым мазерам и лазерам на свободных электронах [2—6] — релятивистским генераторам, основанным на доплеровском преобразовании частоты излучения электронов-осцилляторов, движущихся с релятивистской поступательной скоростью.

В значительной части практически интересных случаев требования к качеству электронного пучка или к мощности накачки вынуждают к применению в этих генераторах высокодобротных резонаторов. Из теории мазеров и лазеров на свободных электронах ясно, что их резонаторы должны удовлетворять довольно жестким, на первый взгляд, даже отчасти противоречивым, требованиям. Поле высокодобротной рабочей моды должно содержать волны, распространяющиеся под малым углом к направлению движения электронов. Сильноточный (с токами до десятков килоампер) электронный пучок должен быть пропущен вдоль электродинамической системы на небольшом расстоянии от металлической поверхности. В скатронах [2, 3, 5], кроме этого, необходимо, чтобы в области движения электронов через резонатор проходила низкочастотная волна накачки.

В миллиметровом и длинноволновой части субмиллиметрового диапазонов всем указанным требованиям достаточно полно удовлетворяет резонатор в виде отрезка металлического волновода с неглубокой периодической или квазипериодической гофрировкой боковой поверхности [1, 9] (рис. 1). Как и в соответствующих диэлектрических резонаторах оптического диапазона [7, 14], при выполнении условий брэгговского отражения гофрировка обеспечивает распределенную связь встречных волн. Различие между диэлектрическими и металлическими резонаторами — в поперечной структуре волноводных волн, коэффициентах связи волн и, как следствие, в спектре собственных мод. Так, например,

\* Часть результатов работы доложена на IX Всесоюзной конференции по электронике СВЧ [1].

в цилиндрических металлических резонаторах есть отсутствующие в дипольных электрических резонаторах высокодобротные колебания, обусловленные сильным отражением волноводной волны от конца волновода на частотах, близких к критическим [11].

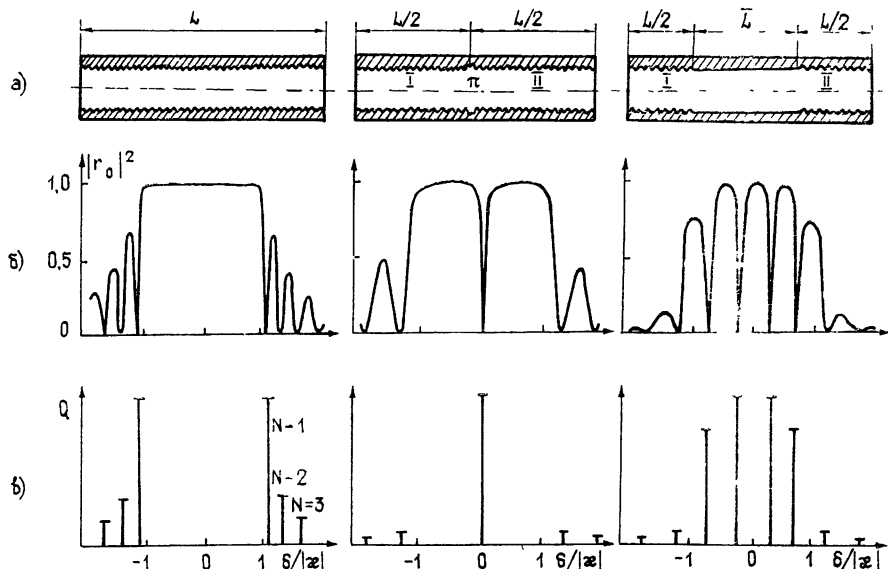


Рис. 1. Различные типы гофрированных резонаторов (а), спектры их резонансных частот (б), коэффициенты отражения волноводной волны от резонаторов в зависимости от частоты (в).

В работе представлены результаты теоретического и экспериментального исследований резонаторов на основе многомодового волновода кругового сечения с периодической или квазипериодической гофрировкой.

## 1. УСЛОВИЯ И УРАВНЕНИЯ СЕЛЕКТИВНОГО ВЗАИМОДЕЙСТВИЯ ДВУХ ВОЛН

Чтобы обеспечить распределенную связь между двумя встречными волнами  $\Psi_1 = \Psi_1^0(r) A_1 \exp(-im_1\varphi - ih_1 z + i\omega t)$  и  $\Psi_2 = \Psi_2^0(r) \times A_2 \exp(-im_2\varphi + ih_2 z + i\omega t)$  волновода кругового сечения, на его поверхность нужно нанести неглубокий гофр с винтовой симметрией

$$a = a_0 + a_1 \cos(\bar{h}z + \bar{m}\varphi), \quad a_1 \ll \lambda, \quad (1)$$

и подчинить параметры гофрировки брэгговским условиям:

$$\bar{h} \approx h_1 + h_2; \quad (2)$$

$$\bar{m} = \pm (m_1 - m_2). \quad (3)$$

Здесь  $a_0$  — невозмущенный радиус волновода,  $\lambda$  — длина волны,  $r, \varphi, z$  — цилиндрические координаты.

При выполнении (2), (3) селективное двухволновое взаимодействие достигается, если отстройки  $|\bar{h} - h_{1,2} - h_s|$  волновых чисел обеих выбранных волн от остальных ( $s \neq 1, 2$ ), для которых выполнено условие (3), значительно превышают коэффициенты связи волн  $\kappa_{l,n}$ :

$$|\bar{h} - h_{1,2} - h_s| \gg |\kappa_{l,n}|, \quad l, n = 1, 2, s, \quad l \neq n. \quad (4)$$

Тогда медленно меняющиеся ( $|\kappa_{1,2}|, |\kappa_{2,1}| \ll h_{1,2}$ ) комплексные амплитуды  $A_{1,2}(z)$  волн поля  $A(z) = A_1(z) \exp(-ih_1 z) + A_2(z) \exp(ih_2 z)$  описываются уравнениями связанных волн [7, 13]:

$$\begin{aligned} A'_1 + i\delta A_1 &= -i\alpha_{1,2} A_2, \\ A'_2 - i\delta A_2 &= i\alpha_{2,1} A_1, \end{aligned} \quad (5)$$

причем,  $|A_1|^2 h_1$  и  $|A_2|^2 h_2$  представляют мощности, переносимые этими волнами,  $\delta = (1/2) (h_1 + h_2 - h)$ .

Если обе волны имеют одинаковые поперечные структуры, а их фазовые скорости вдоль оси близки к скорости света ( $v_\phi \gg c$ ), то неравенство (4), ограничивающее сверху коэффициенты связи, можно сформулировать в виде ограничения на параметр Френеля:

$$(ka_0^2/L_{cb}) \ll \alpha_{m,p} f(m, p). \quad (6)$$

Здесь  $k = 2\pi/\lambda$  — волновое число,  $\alpha_{m,p} = a_0 \sqrt{k^2 - h^2}$ ,  $L_{cb} = \pi/2|\alpha|$  — характерная длина взаимодействия прямой и обратной волн,  $f(m, p) \geq 1$  — фактор порядка единицы, величина которого определяется азимутальным —  $m$  — и радиальным —  $p$  — индексами моды.

Условия (4), (6) допускают также следующую интерпретацию: связь волноводных мод будет селективной, если соответствующие им бриллюэновские волны, распространяющиеся под углами  $\Theta = \pm \arccos h/k$  к оси волновода, испытывают несколько отражений на длине  $L_{cb}$ .

## 2. КОЭФФИЦИЕНТЫ СВЯЗИ

Вычисляя коэффициенты связи волн методом возмущений [12, 13], получим

$$\alpha_{l,l'} = \frac{a_1}{2a_0^3} \frac{-v_l^2 v_{l'}^2 + m_l m_{l'} a_0^2 (k^2 + h_l h_{l'})}{\sqrt{h_l h_{l'}} \sqrt{(v_l^2 - m_l^2)(v_{l'}^2 - m_{l'}^2)}} \quad (7)$$

— для двух волн  $H$ -типа,

$$\alpha_{l,l'} = \frac{a_1}{2a_0} \frac{k^2 + h_l h_{l'}}{\sqrt{h_l h_{l'}}} \quad (8)$$

— для двух волн  $E$ -типа;  $l, l' = 1, 2$ . Периодическая гофрировка обеспечивает связь волн разных типов, если азимутальный индекс  $m_H$  волны  $H$ -типа не равен нулю:

$$\alpha_{E,H} = \frac{a_1}{2a_0} \frac{m_H k}{\sqrt{v_H^2 - m_H^2}} \frac{h_E + h_H}{\sqrt{h_E h_H}}. \quad (9)$$

Методика работы [13] позволяет легко вычислить коэффициенты связи волн и в коаксиальном волноводе. Мы приведем их лишь для одинаковых волн  $H$ -типа:

$$\alpha = \frac{a_1 [\chi^4 \mp a_0^2 m^2 (k^2 + h^2)]}{2a_0^3 h [\chi^2 - m^2 - (\chi^2 - m^2 \alpha^2) (J'_m(\chi)/J_m(\chi/\alpha))^2]} \quad (10)$$

— при гофрировке внешнего цилиндра радиуса  $a_0$ .

$$\alpha = \frac{b_1 [\chi^4 \mp a_0^2 \alpha^2 m^2 (k^2 + h^2) (J'_m(\chi)/J_m(\chi/\alpha))^2]}{2b_0 a_0^3 [\chi^2 - m^2 - (\chi^2 - m^2 \alpha^2) (J'_m(\chi)/J_m(\chi/\alpha))^2]} \quad (11)$$

— при гофрировке внутреннего цилиндра радиуса  $b_0$ .

В (10), (11)  $\alpha = a_0/b_0 > 1$ ,  $\chi$  — корень уравнения  $J'_m(\chi)N'_m(\chi/\alpha) = N'_m(\chi)J'_m(\chi/\alpha) = 0$ ,  $J_m(x)$ ,  $N_m(x)$  — функции Бесселя и Неймана. Знаки (—) и (+) соответствуют одинаковым и противоположным направлениям вращения связанных волн.

### 3. РЕЗОНАНСНЫЕ ЧАСТОТЫ И ДОБРОТНОСТИ КОЛЕБАНИЙ

Пусть резонатор представляет собой отрезок периодически гофрированного цилиндрического волновода, согласованного на концах, так что для парциальных волн в сечениях  $z = \pm L/2$ , где кончается гофрировка, выполнены условия излучения

$$A_1(-L/2) = A_2(L/2) = 0. \quad (12)$$

Тогда при малых омических потерях и достаточно большой длине  $L$ , когда

$$|\kappa L| \gg \pi, \quad (13)$$

в резонаторе существуют высокодобротные колебания связанных волн, частоты и добротности которых нетрудно найти, решая уравнения (5), (12). Для случая, когда гофрировка связывает встречные волны одинаковой поперечной структуры, получаем

$$\begin{aligned} k_{\pm N} &= \frac{\omega_{\pm N}}{c} = \left[ g^2 + \left( \frac{\bar{h}}{2} \pm |\kappa| \sqrt{1 + \frac{(N\pi)^2}{|\kappa L|^2}} \right)^2 \right]^{1/2}, \\ Q_{\pm N} &= \frac{k_{\pm N}^2 L}{\bar{h}} \frac{|\kappa L|^2}{(N\pi)^2}, \quad g = \frac{v_{m,p}}{a_0}, \quad N=1,2,\dots \end{aligned} \quad (14)$$

Согласно (14) резонансные частоты находятся вблизи границ полосы непропускания (рис. 1). Поле колебания с индексом  $N$  представляет собой почти стоячую волну с близкой к синусоидальной плавной огибающей, имеющей  $N$  полупериодов на длине резонатора [7]. Мелкомасштабные заполнения у колебаний на частотах  $\omega_N$  и  $\omega_{-N}$ , симметричных относительно брэгговской частоты  $\omega_0 = c \sqrt{g^2 + (\bar{h}/2)^2}$ , сдвинуты по отношению друг к другу на половину периода гофрировки.

Если волноводные волны испытывают отражение от концов резонатора с коэффициентом отражения  $r_0 = \rho \exp(i\alpha_0)$ , то граничные условия (12) заменяются на

$$\begin{aligned} A_1(-L/2) &= \rho \exp[i(\alpha_0 - \bar{h}L)] A_2(-L/2), \\ A_2(L/2) &= \rho \exp[i(\alpha_0 - \bar{h}L)] A_1(L/2). \end{aligned} \quad (15)$$

В этом случае спектр резонансных колебаний становится несимметричным относительно брэгговской частоты [7, 8, 10], причем даже малое отражение может значительно изменить добротности колебаний. Так, при  $|r_0| = 0,2$  сдвиг резонансных частот еще невелик, но отношение добротностей  $Q_N/Q_{-N}$  может отличаться от единицы в 2–3 раза в ту или иную сторону.

Простейшим нарушением периодичности — введением сбоя фазы гофрировки — можно очень сильно изменить спектральные характеристики резонатора [8, 9]. Например, если в середине резонатора устроить скачок фазы гофрировки на  $\pi$ , то в спектре появится резко выделенное по свойствам очень добротное колебание с частотой, лежащей точно в середине полосы непропускания (рис. 1):

$$Q_0 = \frac{k_0^2 L}{2\bar{h}} \frac{\exp(|\kappa L|)}{|\kappa L|}, \quad k_0 = \frac{\omega_0}{c} \quad (16)$$

и

$$\tilde{Q}_{\pm N} = \frac{\tilde{k}_{\pm N}^2 L}{\bar{h}} \frac{|\kappa L|^2}{(2N\pi)^2},$$

$$\tilde{k}_{\pm N} = \left[ g^2 + \left( \frac{\hbar}{2} \pm |z| \sqrt{1 + \frac{(2N\pi)^2}{|zL|^2}} \right)^2 \right]^{1/2}. \quad (17)$$

Отношение добротностей  $Q_0/\tilde{Q}_{\pm N}$  имеет значение порядка 100 при  $|zL| = 8$ . Огибающая мелкомасштабного заполнения наиболее добротного колебания довольно быстро спадает от середины резонатора по закону, близкому к  $\exp(-|zL|)$ . Не нарушая противофазности «зеркал» I и II (рис. 1), можно увеличить протяженность поля в резонаторе, установив между «зеркалами» отрезок гладкого волновода длиной  $L$ . Тогда добротность колебания на частоте  $\omega_0$  будет равна

$$\bar{Q}_0 = \frac{k_0^2}{2\hbar} \frac{\exp(|zL|)}{|zL|} (1 + |zL|). \quad (18)$$

Следует иметь в виду, что при большой длине однородного участка, когда  $|zL| > \pi$ , в полосе непропускания появляются дополнительные высокодобротные резонансы (см., например, [14]).

Для произвольной величины скачка фазы гофрировки  $0 < \Delta\phi < 2\pi$ ,  $\Delta\phi \neq \pi$  спектр несимметричен относительно брэгговской частоты  $\omega_0$ . При этом при уменьшении величины скачка фазы гофрировки от значения  $\Delta\phi = \pi$  резонансная частота основного колебания смещается к одной из границ полосы непропускания, при  $\Delta\phi \approx 2 \operatorname{arctg}(2/|zL|)$  проходит границу полосы и, наконец, при  $\Delta\phi = 0$  принимает значение  $|\delta L| = |zL| \sqrt{1 + \pi^2/|zL|^2}$ .

#### 4. РЕЗУЛЬТАТЫ ЭКСПЕРИМЕНТАЛЬНОГО ИССЛЕДОВАНИЯ

Экспериментально исследовалось несколько резонаторов на основе многомодового аксиально-симметричного волновода с прямоугольной гофрировкой. Исследование проводилось в диапазонах длин волн 7,5—10 мм и 4,0—5,0 мм.

1) В одном из экспериментов измерялись добротности и частоты ( $7,5 \text{ mm} < \lambda < 9,8 \text{ mm}$ ) колебаний гофрированного резонатора со следующими параметрами: средний радиус волновода был равен 10,4 мм, период гофрировки 5,1 мм, глубина гофриров-

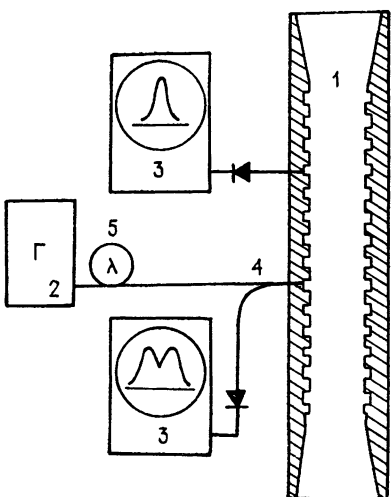


Рис. 2. Схема установки для измерения резонансных частот и добротностей колебаний:  
1 — исследуемый резонатор, 2 — кристаллический генератор с частотной модуляцией, 3 — осциллограф, 4 — направленный ответвитель, 5 — волномер.

ки 0,8 мм. Резонатор состоял из двух гофрированных участков длиной  $80 \text{ mm} < L/2 < 150 \text{ mm}$ , разделенных отрезком негофрированного волновода, длина которого тоже могла изменяться:  $0 < L < 200 \text{ mm}$ . Возбуждение и прием колебаний производились через отверстие связи в стенке резонатора. Схема установки изображена на рис. 2.

Кроме колебаний связанных волн  $E_{0,1} \leftrightarrow E_{0,1}$ ,  $E_{1,1} \leftrightarrow H_{1,1}$ ,  $E_{1,1} \leftrightarrow E_{1,1}$ ,  $H_{3,1} \leftrightarrow H_{3,1}$ ,  $E_{2,1} \leftrightarrow E_{2,1}$  с бриллюэновскими углами

$\Theta = 20 \div 40^\circ$  в эксперименте наблюдалась резонансные колебания, образованные волнами, для которых среднее сечение резонатора близко к критическому [11]. Идентификация мод осуществлялась установлением их азимутального и полного продольного индексов. Для колебаний связанных волн последний примерно равен числу периодов гофрировки (рис. 3) и весьма велик ( $q \sim 50$ ), для добротных колебаний на частотах, близких к критическим, его значение порядка единицы ( $q \leq 5$ ). Омическая добротность колебаний была равна  $Q_{\text{ом}} = 10000 \div 15000$ .

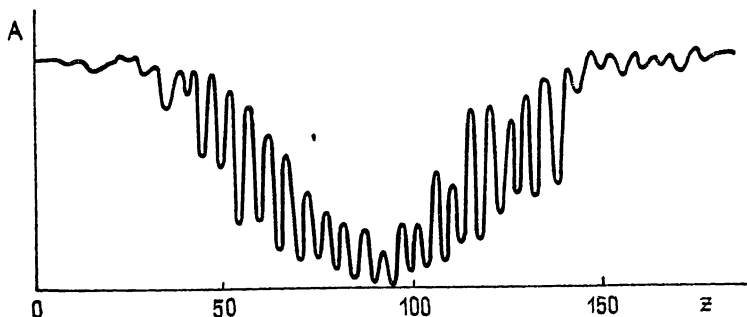


Рис. 3. Изменение амплитуды резонанса связанных волн  $E_{1,1} \leftrightarrow E_{1,1}$  при перемещении вдоль резонатора ( $|xL| = 6,5$ ,  $L = 0$ ) поглощающего тела с малым продольным размером.

Частоты и добротности наиболее добротных колебаний связанных волн измерялись при различных величинах скачка фазы  $\Delta\phi$  гофрировки (рис. 4, 5), который фиксировался с точностью  $\pm 5^\circ$ . Область сосредоточения поля  $\int_{-L/2}^{L/2} |A(z)/A_{\max}| dz$  в резонаторе при скачке фазы

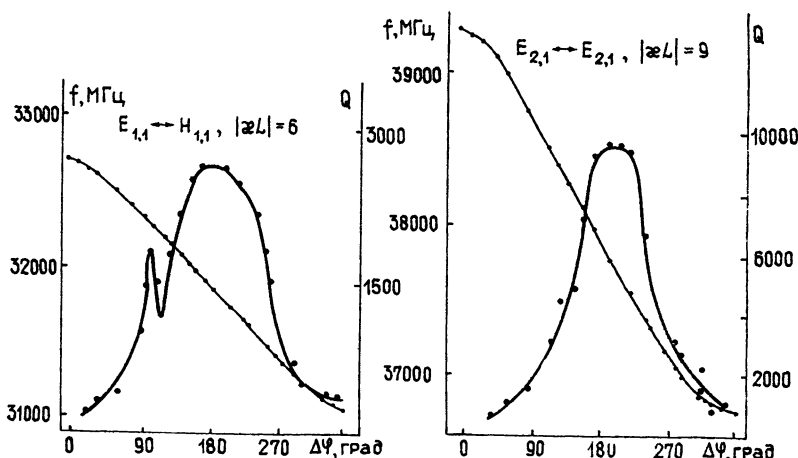


Рис. 4. Экспериментальная зависимость от величины скачка фазы гофрировки резонансной частоты (тонкая линия) и добротности основного колебания связанных волн.

гофрировки около  $\pi$  была довольно мала (равна примерно  $2/|\chi| \approx 60 \text{ мм}$ ). Для увеличения протяженности поля между гофрированными участками волновода помещался негофрированный. Зависимость добротности от длины гладкого участка  $\bar{L}$  представлена на рис. 6. При  $\bar{L} = 200 \text{ мм}$  в резонаторе имелось 4—5 высокодобротных колебаний внутри полосы непропускания.

Измеренные в эксперименте центральные частоты  $f_0$  полос непропускания и коэффициенты связи встречных волн были близки к рассчитанным по формулам (7)–(9) (см. таблицу и рис. 4, 5), однако дифракционные добротности в некоторых случаях отличались от теоретических в 1,5–2 раза.

Таблица

|                                | $E_{0,1} \leftrightarrow E_{0,1}$                 | $E_{1,1} \leftrightarrow H_{1,1}$                 | $E_{1,1} \leftrightarrow E_{1,1}$                    | $E_{2,1} \leftrightarrow E_{2,1}$                  |
|--------------------------------|---|---|--|--|
| $f_0 = \omega_0/2\pi$<br>(МГц) | $30800 \pm 1000$<br>(31380)                       | $31900 \pm 300$<br>(32570)                        | $34900 \pm 300$<br>(34290)                           | $37900 \pm 300$<br>(37690)                         |
| $ x $                          | $\frac{h}{25} \pm 10\% \left(\frac{h}{19}\right)$ | $\frac{k}{35} \pm .5\% \left(\frac{k}{30}\right)$ | $\frac{h}{17,5} \pm 5\% \left(\frac{h}{17,4}\right)$ | $\frac{h}{18} \pm 5\% \left(\frac{h}{15,5}\right)$ |

В скобках приведены результаты расчета.

2) В другом эксперименте исследовались колебания связанных волн  $H_{4,1}, H_{5,1}, H_{6,1}$  при достаточно больших бриллюэновских углах:  $\Theta = 45 \div 55^\circ$  в резонаторе со строго периодической гофрировкой и скачком  $\pi$  фазы гофрировки. В резонаторе с периодической гофрировкой колебания связанных волн наблюдались только вблизи одной из границ полосы непропускания, причем их добротности были примерно в три раза выше расчетных. Причиной этого расхождения с теорией могло быть отражение волноводной волны от концов резонатора (для обеспечения указанных эффектов достаточно отражения с коэффициентом  $|r_0|^2 = 0,05$ .

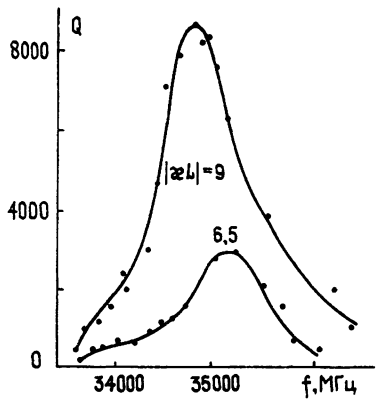


Рис. 5.

Рис. 5. Измеренная добротность основного колебания связанных волн  $E_{1,1} \leftrightarrow E_{1,1}$  при различных длинах резонатора ( $|zL| = 6,5, 9,0, \bar{L} = 0$ ).

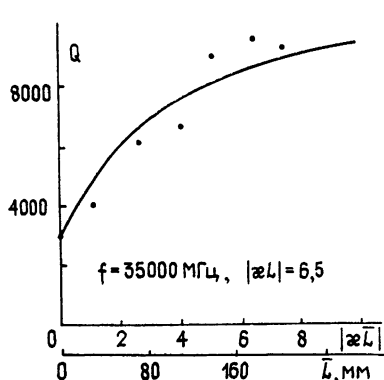


Рис. 6.

Рис. 6. Расчетная зависимость добротности колебания связанных волн  $E_{1,1} \leftrightarrow E_{1,1}$  от длины гладкого участка  $\bar{L}$  при омической добротности  $Q_{om} = 12000$ . Точками отмечены экспериментальные значения добротности.

3) Отметим, что в исследованных резонаторах «паразитные» моды на квазикритических частотах обладали большой (вплоть до омической при  $q = 1, 2$ ) добротностью и густым спектром резонансных частот. Хотя в некоторых случаях резонансное возбуждение таких мод электронным пучком в МСЭ просто невозможно (например, в убитроне

с малым по сравнению с периодом магнитного поля  $d$  радиусом волновода:  $a_0 < 1,84 d/2\pi$ ), вообще говоря, при использовании гофрированных резонаторов возникает необходимость эффективно дискриминировать эти колебания.

Авторы выражают благодарность С. Н. Власову и М. И. Петелину за внимание к работе и полезные советы.

## ЛИТЕРАТУРА

1. Денисов Г. Г., Резников М. Г. Тезисы докладов IX Всесоюзной конференции по электронике СВЧ. — Киев., 1979, с. 111.
2. Гапонов-Грехов А. В., Петелин М. И.— Вестник АН СССР, 1979, вып. 4, с. 11.
3. Granatstein V. L., Sprangle P.— IEEE Trans., MTT-25, 1977, № 6, р. 545.
4. Ботвинник И. Е., Братман В. Л., Волков А. Б. и др.— Письма в ЖЭТФ, 1982, 35, вып. 10, с. 418.
5. Братман В. Л., Гинзбург Н. С., Петелин М. И.— ЖЭТФ, 1979, 76, № 3, с. 930.
6. Братман В. Л., Гинзбург Н. С., Нусинович Г. С., Петелин М. И., Юлпатов В. К. В кн.: Релятивистская высокочастотная электроника.— Горький: изд. ИПФ АН СССР, 1979, с. 157
7. Kogelnik H., Shank C. V.— J. Appl. Phys., 1972, 43, № 5, р. 2327.
8. Kim S. H., Fonstand C. G.— IEEE J. Quant. Electr., QE-15, 1979, № 12, р. 1405.
9. Ковалев Н. Ф., Петелин М. И., Резников М. Г.— Авторское свидетельство № 720592, Бюл. изобрет., 1980, № 9.
10. Chin S. R.— IEEE J. Quant. Electr., QE-9, 1973, № 6, р. 574.
11. Вайштейн Л. А. Открытые резонаторы и открытые волноводы.— М.: Сов. радио, 1966.
12. Каценеленбаум Б. З. Теория нерегулярных волноводов с медленно меняющимися параметрами.— М.: Изд. АН СССР, 1961.
13. Ковалев Н. Ф., Орлова И. М., Петелин М. И.— Изв. вузов.— Радиофизика, 1968, 11, № 5, с. 783.
14. Yariv A., Nakamura M.— IEEE J. Quant. Electr., QE-13, 1977, № 4, р. 233.

Институт прикладной физики  
АН СССР

Поступила в редакцию  
29 мая 1981 г.

## CORRUGATED CYLINDRICAL RESONATORS FOR SHORT-WAVE RELATIVISTIC VHF GENERATORS

G. G. Denisov, M. G. Reznikov

Corrugated resonators for relativistic electron generators are theoretically and experimentally investigated. The operation of resonators is based on the effect of the phasing selective reflection of a waveguide wave from periodic inhomogeneities. Resonators are considered in the form of a waveguide section with the strictly periodic corrugation and a waveguide section with a jump of the corrugation phase in the middle, a resonator with Bragg mirrors.